

تعیین منشأ و شناسایی منابع ورودی پریلن و سایر هیدروکربن‌های آروماتیک حلقوی (PAHs) در رسوبات سطحی تالاب انزلی

مجتبی زمانی^۱، نعمت‌الله خراسانی^۲، علی‌رضا ریاحی‌بختیاری^{*۳}، کرامت‌الله رضایی^۴

تاریخ دریافت: ۹۲/۱۱/۰۵ تاریخ پذیرش: ۹۳/۰۲/۰۲

چکیده

زمینه و هدف: این مطالعه به منظور تعیین غلظت، منشأ و شناسایی منابع ورودی پریلن و برخی ترکیبات PAH در رسوبات سطحی ۳ منطقه قلم‌گوده (A)، سیاه‌کشیم (B) و تالاب مرکزی (C) واقع در تالاب انزلی انجام شد.

روش بررسی: تعداد ۲۲ نمونه رسوب (از هر ۳ منطقه) و ۲ نمونه خاک سطحی (فقط از منطقه A) در اردیبهشت سال ۹۱ برداشته شد. نمونه برداری از خاک به منظور اثبات وضعیت غلظت و منشا پریلن در رسوبات مورد بررسی، صورت گرفت. استخراج هیدروکربن‌های آروماتیک حلقوی (PAH)، با استفاده از حلال‌های آلی و ۲ مرحله کروماتوگرافی ستونی و آنالیز این ترکیبات، با استفاده از دستگاه GC-MS انجام گرفت. همچنین از نسبت‌های تشخیصی IP/IP+BghiP و BaA/BaA+Chr.Flu/Flu+Pyr.Flu/Ph/An به منظور تعیین منشأ ترکیبات PAH استفاده گردید.

یافته‌ها: در تمامی نمونه‌های رسوب منشا پریلن طبیعی و منشا سایر ترکیبات PAH پتروژنیک بود. غلظت کلی ترکیبات PAH (به جز پریلن) در محدوده ۵۶۰/۰۵ ng/g (dry weight) تا ۱۰۵۱/۹۳ ng/g (dry weight) بود. غلظت پریلن نیز بین ۷۰/۶۵ ng/g (weight dry) تا ۲۰۴/۴۱ ng/g (weight dry) بود. غلظت کلی ترکیبات PAH و پریلن در رسوبات منطقه A به طور معنی‌داری بیشتر از ۲ منطقه دیگر بود. در حالی که هیچ‌گونه رابطه معنی‌داری بین مقادیر نرم‌الایز شده ترکیبات PAH به TOC در بین رسوبات ۳ منطقه مشاهده نشد.

نتیجه گیری: با توجه به منشا پتروژنیک ترکیبات PAH در رسوبات سطحی تالاب می‌توان تخلیه انواع فاصلاب‌های خانگی و صنعتی، فعالیت‌های بندری و کشتیرانی، فعالیت‌های استخراج، اکتشاف و پالایش نفت خام در مناطق فراساحلی و تردد قایقهای صیادی و گردشگری را به عنوان منابع عمده ورود ترکیبات PAH مطرح نمود؛ اما تشخیص منشا طبیعی پریلن در نمونه‌های رسوب سطحی و خاک دلالت بر تولید این ترکیب در بخش خشکی بواسطه فعالیت موریانه‌ها و قارچ‌ها روی مواد سلولزی و چوبی کف جنگل، چوب‌های در حال فساد و باقی‌مانده فسیل آن‌ها و انتقال به تالاب است.

واژگان کلیدی: ترکیبات PAH، پتروژنیک، رسوبات سطحی.

۱- دانشجوی کارشناسی ارشد، دانشکده منابع طبیعی، دانشگاه تهران

۲- دکترای جنگل‌داری، استاد دانشکده منابع طبیعی، دانشگاه تهران

۳- (نویسنده مسئول): دکترای فناوری کنترل آلودگی‌های محیط زیست، دانشیار دانشکده منابع طبیعی و علوم دریایی، دانشگاه تربیت مدرس riahi@modares.ac.ir

۴- دکترای تجزیه مواد غذایی، استاد گروه دانشکده کشاورزی، دانشگاه تهران

مقدمه

دارای اثرات سمی کمتر بوده، اما به طور قابل ملاحظه‌ای در موجودات سطوح بالاتر باعث بروز سرطان و جهش ژنتیکی می‌شوند (۱، ۲). همچنین این ترکیبات تاثیرات تجمعی بسیاری بر جنین موجوداتی نظیر ماهی‌ها و سایر موجودات آبزی، دوزیستان، پرنده‌گان و پستانداران دارند (۱).

در بین ترکیبات PAH، پریلن یک ترکیب ۵ حلقه‌ای است، که به مقدار فراوان در خشکی و رسوبات اکوسیستم‌های آبی از جمله دریاها (۷)، دریاچه‌ها، رودخانه‌ها و حتی آب‌های شیرین (۸) یافت می‌شود. فرمول شیمیایی این ترکیب $C_{12}H_{10}$ و ایزومرهای آن ترکیبات بنزو (b) فلورورانتن، بنزو (k) فلورورانتن و بنزو (a) پایین است (۹).

بنابر اعتقاد کلی ترکیب پریلن یک محصول بیوژنیک است و به طور طبیعی در محیط‌های خشکی و از تحول پیش‌ماده‌های اولیه و همچنین در رسوبات عمقی بوجود می‌آید و تنها مقادیر بسیار کمی از آن در طی فرآیندهای احتراقی تولید می‌شود (۱۰). در بسیاری از منابع عنوان شده که پریلن کوینون (Perylenequinone) و مشتقات تولید شده آن توسط گیاهان عالی (۱۰)، حشرات، قارچ‌ها و همچنین زنبق‌ها (۱۱) که تحت شرایط بی‌هوایی بوسیله حذف اکسیژن به پریلن تغییر شکل می‌یابند، از محتمل‌ترین پیش‌ماده‌های طبیعی این ترکیب محسوب می‌شوند (۱۲).

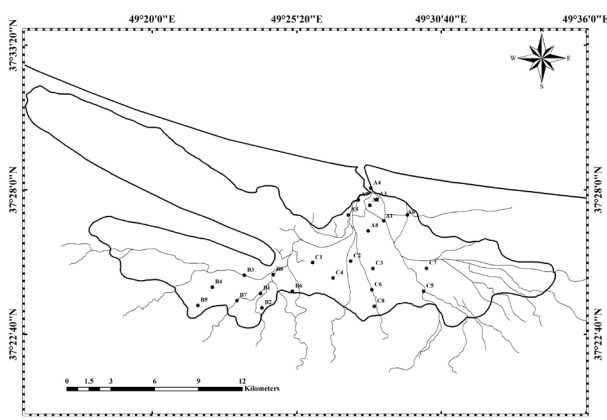
على‌رغم فراوانی پریلن در طبیعت، منشا ژئوشیمیایی آن هنوز بخوبی شناخته نشده است و در مطالعات مختلف، نتایج بسیاری در رابطه با فرایندهای احتمالی تولید این ترکیب بدست آمده است. Aizenshtat (۱۹۷۳) منبع احتمالی پریلن موجود در رسوبات عمقی دریاها را در ارتباط با رنگدانه‌های فتوستتری دانست (۷) و این در حالی است که Hitse و همکاران در سال (۱۹۸۰) عنوان کردند که دیاتومه‌های موجود در این رسوبات نیز می‌توانند به عنوان پیش‌ماده‌های پریلن در نظر گرفته شوند (۳). همچنین برخی منابع زمینی از جمله گیاهان، حشرات و بویشه قارچ‌ها به عنوان پیش‌ماده‌های اصلی پریلن در رسوبات پیشنهاد شده‌اند (۱۳). جدای از محیط‌های رسوب‌گذاری، Wilcke و همکاران در سال (۲۰۰۲)

هیدروکربن‌های آروماتیک حلقه‌ای (PAHs) دسته‌ای از ترکیبات آلی‌اند که در ساختار خود ۲ تا ۷ حلقه بنزن دارند. این ترکیبات از منابع متعددی وارد محیط می‌شوند. آن‌ها می‌توانند منشا طبیعی (بیوژنیک و دیاژنیک) داشته باشند، اما منبع اصلی ورود این آلاینده‌ها به محیط، فعالیت‌های انسانی (پایروژنیک و پتروژنیک) است که عمدتاً شامل پیرولیز مواد آلی و سوخت‌های فسیلی در دمای بالاتر از 700°C است (۱، ۲). ترکیبات PAH با منشا طبیعی در محیط بر اثر سنتز این ترکیبات توسط پلانکتون‌ها، گیاهان آوندی و عالی خشکی، باکتری‌ها، جلبک‌ها و سوخت و تجزیه زیست‌توده‌های جانوری و گیاهی تولید می‌شوند (۳). ترکیبات PAH با منشا انسانی بر اثر ریزش مستقیم مواد نفتی و ترکیبات فراوری شده آن (پتروژنیک) و یا ورود باقی‌مانده‌های ناشی از احتراق ناقص ترکیبات آلی (پایروژنیک) وارد محیط می‌شوند (۴).

به‌منظور تعیین منشا طبیعی و انسانی ترکیبات PAH، تاکنون معیارها و شاخص‌های متعددی ایجاد شده است (۵). یکی از این Diagnostic (ratio) است که با توجه به اختلاف در واکنش‌پذیری حلالیت، خصوصیات ترمودینامیکی و سیر تکاملی قابل مقایسه در محیط بین برخی از جفت ایزومرهای PAH از آن‌ها برای تعیین منشا استفاده می‌گردد (۶).

ترکیبات PAH براساس وزن مولکولی به دو دسته ترکیبات با وزن مولکولی پایین (Low Molecular Weight) و ترکیبات با وزن مولکولی بالا (High Molecular Weight) تقسیم می‌شوند. LMW ترکیباتی هستند که در ساختار خود ۲ تا ۳ حلقه بنزن دارند و جرم مولکولی آن‌ها از g/mol ۲۰۲ کمتر است. این ترکیبات دارای اثرات سمی حاداند و تاثیرات مخرب زیادی بر رشد، بقا و تولیدمثل بعضی موجودات زنده بهویژه آبزیان دارند. در مقابل ترکیبات PAH با وزن مولکولی بالا شامل ترکیباتی‌اند که در ساختار خود ۴ تا ۷ حلقه بنزن دارند و جرم مولکولی شان مساوی یا بیشتر از g/mol ۲۰۲ است. این دسته از ترکیبات در غلاظت‌های محیطی

قرار دارد (۱۹). حداقل و حداکثر ارتفاع در این حوزه به ترتیب در حدود ۲۶ m و ۳۰۱۴ m میانگین بارش حدود ۱۹۸۰ mm در سال است (۲۰). ۳ منطقه مورد بررسی در این مطالعه یعنی قلم گوده (A)، سیاه کشیم (B) و تالاب مرکزی (C) به ترتیب در شمال، جنوب غرب و جنوب تالاب انزلی واقع شده‌اند که به علت داشتن برخی ویژگی‌ها از قبیل امنیت (تعداد بسیار کم شکارچی طبیعی و انسانی)، پوشش گیاهی مناسب، دسترسی به منابع غذایی و تردد بسیار کم افراد از جذابیت بسیار زیادی برای برخی پرندگان جوچه‌آور مقیم برخوردارند. بنابراین با توجه به این موارد، نمونه‌برداری از رسوبات اطراف ۳ منطقه جوچه‌آوری برخی گونه‌های جوچه‌آور در تالاب انزلی و با هدف تعیین غلظت و منشا ترکیبات PAH در آن‌ها صورت گرفت. شکل ۱ موقعیت جغرافیایی ایستگاه‌های نمونه‌برداری از رسوبات و خاک سطحی در تالاب انزلی را نشان می‌دهد.



شکل ۱: موقعیت نقاط نمونه‌برداری از رسوبات و خاک سطحی در تالاب انزلی

- جمع آوری نمونه‌ها و جامعه آماری

در تحقیق حاضر پس از مطالعات مقدماتی و بررسی میدانی از بخش‌های مختلف تالاب انزلی، نمونه‌برداری از ۳ منطقه قلم گوده (A)، سیاه کشیم (B) و تالاب مرکزی (C) صورت پذیرفت. گرینش نمونه‌ها به گونه‌ای بوده است که تفاوت‌های احتمالی موجود در غلظت و منشا ترکیبات PAH در رسوبات مورد بررسی را آشکار نماید. برای این منظور

پریلن موجود در لایه‌های سنگی سطحی مناطق تروپیکال را وابسته به فعالیت موریانه‌ها در مواد چوبی دانستند (۱۴). در این راستا Riyahi Bakhtiyari (۲۰۱۰) غلظت‌های مشاهده شده از پریلن در برخی مناطق تروپیکال کشور مالزی را در ارتباط با یک گونه موریانه با نام علمی *Macrotermes gilvus* و میکروارگانیسم‌ها دانستند (۱۵). علاوه بر آن در مطالعات بسیاری مقادیر چشمگیری از پریلن در چوب‌های در حال پوسیدن و باقی‌مانده فسیل آن‌ها (۱۶) مشاهده شده است. در بسیاری از گزارش‌های اخیر نیز، پریلن به عنوان یک بیومارکر زمینی منشا یافته شده از چوب‌های در حال تجزیه توسط قارچ‌ها در مناطق مرطوب (به عنوان منبع اصلی) (۱۱)، میکروارگانیسم‌ها (۱۰ و ۱۷)، ژیمنسپرم‌ها (Gymnosperms) (۱۲) و ریزوبیوها (۱۸) شناخته شده است. با توجه به مطالعات فوق می‌توان نتیجه گرفت که پریلن می‌تواند از بیش از یک نوع پیش‌ماده آلی در هر دو محیط خشکی و آبی و همچنین فرایندهای میکروبی مختلف منشا گیرد (۱۰).

تا به حال مطالعات فراوانی در خصوص منشایابی ترکیبات PAH از جمله پریلن در رسوبات محیط‌های آبی در سراسر جهان صورت پذیرفته است. تا آنجا که آگاهیم تاکنون هیچ گزارشی در خصوص تعیین منشا پریلن در رسوبات محیط‌های آبی از جمله تالاب‌ها در ایران منتشر نشده است. بنابراین هدف از انجام مطالعه حاضر این است تا ضمن تعیین غلظت و منشا ترکیبات PAH با استفاده از برخی نسبت‌های تشخیصی در رسوبات سطحی تالاب انزلی، منابع احتمالی ورودی پریلن به این رسوبات نیز مورد بررسی قرار گیرند.

مواد و روش‌ها

- منطقه مورد مطالعه

تالاب انزلی آبگیری وسیع با آب شیرین، بوتروفیک و کم عمق بوده که وسعتی در حدود 193 Km^2 دارد. این تالاب در محدوده جغرافیایی $37^{\circ}20' \text{ تا } 37^{\circ}37'$ عرض شمالی و $15^{\circ}49' \text{ تا } 15^{\circ}20'$ طول شرقی در جنوب غربی دریای خزر در استان گیلان

مورد استفاده در این مرحله $0/9\text{ cm}$ بود و سیلیکاژل تا ارتفاع 9 cm ، داخل آن ریخته شد (۹).

کروماتوگرافی ستونی مرحله دوم

در این مرحله هیدروکربن‌های بدست آمده از مرحله اول ستون کروماتوگرافی توسط ستون سیلیکاژل کاملاً فعال شده، به 3 بخش مجزا جداسازی شدند. به منظور جداسازی ترکیبات PAH از سایر ترکیبات، از 14 mL مخلوط ان-هگزان/دی‌کلرومتان به نسبت حجمی $1:3$ استفاده گردید. نمونه‌ها پس از عبور از ستون حاوی سیلیکاژل فعال در بالنهای گلابی شکل جمع‌آوری و سپس بخش جدا شده ترکیبات PAH پس از کاهش حجم توسط دستگاه تبخیر کننده دوران با استفاده از پیپت پاستور به ویال‌های $1/5\text{ mL}$ تیره رنگ منتقل شدند. قطر داخلی ستون کروماتوگرافی مورد استفاده در این مرحله $0/47\text{ cm}$ بود و سیلیکاژل تا ارتفاع 18 cm داخل ستون ریخته شد. در مرحله بعد، نمونه‌های درون ویال با استفاده از جریان بسیار آرام گاز نیتروژن با درجه خلوص $(99/99\%)$ حلal پرانی و خشک شدند. در نهایت و قبل از تزریق نمونه‌ها به دستگاه GC-MS μL , p -terphenyl-d₁₄ به ویال داخلی بهنام پاراترفنیل-d₁₄ (GC-MS) اضافه و سپس مقدار 1 mL از آن به دستگاه حاوی نمونه اضافه و سپس مقدار 1 mL از آن به دستگاه تزریق گردید (۹، ۱۰ و ۲۱).

- آنالیز کربن آلی کل (TOC)

مقدار کربن آلی کل با استفاده از روش کاهش در اثر سوختن (Loss on ignition) تعیین گردید. در این روش مقدار g رسوب خشک به مدت 6 h در کوره با دمای 400°C قرار گرفت و پس از آن به دسیکاتور منتقل شد تا به دمای محیط بررسد. سپس تفاوت وزن حاصل در اثر سوختن بر میزان وزن اولیه نمونه رسوب تقسیم و در عدد 100 ضرب شد تا میزان مواد آلی کل بدست آید. در نهایت برای محاسبه کربن آلی کل، میزان مواد آلی کل بر عدد $1/8$ تقسیم گردید (۲۱، ۲۲).

تعداد 22 نمونه رسوب سطحی از عمق 0 cm تا 5 cm (در هر یک از مناطق B و C تعداد ۸ و از منطقه A تعداد ۶ نمونه) در اردیبهشت ماه 91 برداشت گردید. همچنین به منظور اثبات وضعیت غلطت و منشا پریلن در رسوبات مورد بررسی، 2 نمونه خاک سطحی (مخلوطی از نمونه‌های اخذ شده از 5 نقطه مختلف در یک زمان واحد) نیز از منطقه جنگلی قلم گوده (منطقه A) برداشته شد. پس از نمونه‌برداری، هر یک از نمونه‌های رسوب و خاک در پوشش‌های آلومینیومی قرار گرفته و توسط یونولیت حاوی یخ به محل آزمایشگاه منتقل شدند. تمامی نمونه‌های رسوب و خاک تا زمان انجام آنالیزها، در دمای 20°C -نگه‌داری شدند.

- استخراج ترکیبات PAH

معادل 5 g وزن خشک از هر نمونه، به دقت توزین و مقدار $100\text{ }\mu\text{L}$ ترکیب جانشینی (Surrogate) شامل 4 ترکیب anthracene-d₁₀, naphthalene-d₈, chrysene-d₁₂ and perylene-d₁₂ به هر یک از آنها اضافه گردید. در این مرحله به منظور استخراج ترکیبات آلی، از 160 mL دی‌کلرومتان به مدت 12 h توسط دستگاه سوکسله استفاده شد و در نهایت نمونه‌های استخراج شده از رسوبات و خاک، توسط دستگاه تبخیر کننده دوران (Rotary evaporator)، حلal پرانی و کاهش حجم (حدود 2 mL تا 3 mL) داده شدند (۹).

کروماتوگرافی ستونی مرحله اول

در این مرحله نمونه رسوب خشک شده با استفاده از پیپت پاستور روی ستون حاوی سیلیکاژل 5% غیرفعال شده با آب اضافه و با استفاده از 20 mL مخلوط ان-هگزان/دی‌کلرومتان به نسبت $1:3$ ، هیدروکربن‌هایی شامل آلکان‌ها، ترکیبات PAH، هوپان (Hopane) و غیره جدا گردیدند. سپس حجم هر یک از نمونه‌ها با استفاده از دستگاه تبخیر کننده دوران مجدداً کاهش یافت (حدود 1 mL) و برای استفاده در کروماتوگرافی ستونی مرحله دوم آماده گردید. قطر داخلی ستون کروماتوگرافی

یافته‌ها

- بررسی غلظت ترکیبات PAH در نمونه‌های رسوب و خاک در مطالعه حاضر غلظت ۲۳ ترکیب PAHs شامل نفتالین (Naph)، آسنفتیلن (Ace)، آسنفتون (Acy)، فلورن (Fl)، فناترن (Ph)، آنتراسن (An)، ۳-متیل‌فناترن (3MP)، ۲-متیل‌فناترن (2MA)، ۲-متیل‌فناترن (2MP)، ۱-متیل‌آنتراسن (1MP)، فلؤورانتن (9MP)، ۱-متیل‌فناترن (Chr)، بنزو (a) آنتراسن (Pyr)، کرایزن (Flu)، بنزو (k) فلؤورانتن (BkF)، بنزو (b) فلؤورانتن (BaA)، دی‌بنزو (a,h) آنتراسن (DahA)، بنزو (e) پایرن (BbF)، بنزو (a) پایرن (BaP)، پریلن (Per)، بنزو (g,h,i) پریلن (BeP)، پریلن (a) پایرن (IP)، پریلن (BghiP) و ایندنو (cd) مورد بررسی قرار گرفتند. با توجه به اینکه هدف اصلی از انجام این مطالعه تعیین منشا و شناسایی ورودی ترکیبات PAH و به خصوص پریلن در رسوبات سطحی تالاب انزلی است، بنابراین نتایج حاصل از تعیین غلظت پریلن و ایزومرهای TOC، PAH و همچنین مقادیر کلی HMW و LMW برای هر یک از نمونه‌های رسوب و خاک مورد بررسی در جدول ۲ آورده شده است.

- کنترل کیفی

در مطالعه حاضر، با استفاده از ترکیب جانشینی که شامل ۴ ترکیب PAH دوتربیت شده (anthracene-d_{10} , naphthalene-d_8 , chrysene-d_{12} and perylene-d_{12}) هستند، این امکان فراهم آمد که میزان از دست رفتن آنالیت‌ها در طی پروسه آنالیزهای شبیه‌سازی، تخمین زده شود. بدین صورت که به هر یک از نمونه‌ها در ابتدای کار، مقدار $100 \mu\text{L}$ ترکیب استاندارد خارجی با غلظت 100 ng/g اضافه شد. نتایج به دست آمده نیز توسط میزان ریکاوری این ترکیبات تصحیح گردید و میزان ریکاوری بین ۷۶٪ تا ۱۰۶٪ به دست آمد. همچنین به منظور کنترل کیفیت روش، تعدادی نمونه blank نیز به دستگاه GC-MS تزریق گردید. از طرفی استاندارد داخلی پارترفنیل- d_{14} نیز به منظور کمی‌سازی و حذف خطاهای بوجود آمده بعلت اختلاف در هنگام تزریق نمونه‌ها مورد استفاده قرار گرفت. در نهایت برای تعیین حد تشخیص (Limits of detection) دستگاه (1) استفاده گردید. مقادیر ریکاوری بدست آمده برای هر ترکیب بر حسب ng/g(dry weight) نیز در جدول ۱ گزارش شده است.

$$\text{LOD} (\text{ng/g}) = \frac{3(\text{SDy/x})}{m}$$

که در آن، SDy/x انحراف معیار برگشت y به x و m شیب منحنی کالیبراسیون است.

- آنالیز آماری

در ابتدا به منظور بررسی نرمال بودن داده‌ها از آزمون عددی Shapiro-Wilk و برای بررسی همگن بودن واریانس‌ها از آزمون Levene استفاده گردید. همچنین جهت بررسی اختلاف معنی دار بین غلظت‌های کلی ترکیبات PAH و پریلن موجود در نمونه‌های رسوب و خاک ۳ منطقه مورد بررسی، از آزمون ANOVA و برای مقایسه میانگین گروه‌ها از آزمون (least significant difference) LSD ضمناً تمامی آزمون‌های فوق با استفاده از نرم‌افزار R نسخه ۳ انجام گرفت.

جدول ۱: حد تشخیص دستگاه GC-MS برای ترکیبات PAH مورد بررسی در مطالعه حاضر

| ترکیبات PAH | معادله منحنی کالیبراسیون | حد تشخیص دستگاه |
|----------------------|--------------------------|-----------------|
| Naphthalene | $Y=182.21x-4.5$ | ۰/۱ |
| Acenaphtylene | $Y=257.57x-2$ | ۰/۰۴ |
| Acenaphtene | $Y=288.79x+0.5$ | ۰/۰۳ |
| Flouren | $Y=195.25x-0.75$ | ۰/۰۲ |
| Phenanthrene | $Y=288.21x-1.5$ | ۰/۰۴ |
| Antracene | $Y=175.43+1$ | ۰/۰۷ |
| 3-Methylphenanthrene | $Y=257.79x-4.5$ | ۰/۱۶ |
| 2-Methylphenanthrene | $Y=192.71x+3$ | ۰/۰۱ |

ادامه جدول ۱: حد تشخیص دستگاه GC-MS برای ترکیبات PAH
مورد بررسی در مطالعه حاضر

| ترکیبات PAH | معادله منحنی کالیبراسیون | حد تشخیص دستگاه |
|--------------------------|-----------------------------|--------------------|
| Benzo (b) fluoranthene | $Y=125.79x-4.5$ | ۰/۰۵ |
| Dibenzo (a,h) anthracene | $Y=117.71x-3$ | ۰/۰۲ |
| Benzo (e) pyrene | $Y=806.21x+0.5$ | ۰/۰۵ |
| Benzo (a) pyrene | $Y=215.79x+1.5$ | ۰/۰۳ |
| Perylene | $Y=227.07x+2.5$ | ۰/۰۹ |
| Benzo(g,h,i)perylene | $Y=294.07x-9.5$ | ۰/۱۹ |
| Indeno(1,2,3-cd)pyrene | $Y=285.93x-47.5$ | ۰/۲۶ |

ادامه جدول ۱: حد تشخیص دستگاه GC-MS برای ترکیبات PAH
مورد بررسی در مطالعه حاضر

| ترکیبات PAH | معادله منحنی کالیبراسیون | حد تشخیص دستگاه |
|------------------------|-----------------------------|--------------------|
| 2-Methylanthracene | $Y=144.71x-1$ | ۰/۱ |
| 9-Methylphenanthrene | $Y=203.57x-1$ | ۰/۰۲ |
| 1-Methylphenanthrene | $Y=288.21x+2.5$ | ۰/۰۸ |
| Flouranthene | $Y=174.79x-0.5$ | ۰/۰۱ |
| Pyrene | $Y=166.93x-6.5$ | ۰/۰۲ |
| Chrysene | $Y=104.64x-6.5$ | ۰/۰۱ |
| Benzo (a) anteracene | $Y=117.93x-0.5$ | ۰/۰۵ |
| Benzo (k) fluoranthene | $Y=123.29x+12$ | ۰/۸ |

جدول ۲: غلظت پریلن و ایزومرهای ۵ حلقوی آن بهمراه غلظت کلی ترکیبات PAH در هر یک از نمونه‌های رسوب و خاک

| منطقه قلم گوده (A) | A1 | A2 (خاک) | A3 (خاک) | A4 | A5 | A6 | A7 | A8 |
|------------------------------|--------|----------|----------|---------|--------|--------|---------|---------|
| Benzo (k) fluoranthene (BkF) | ۱۴/۴۳ | ۱۲/۷۶ | ۲۳/۵۴ | ۱۱/۰۰ | ۱۵/۰۴ | ۱۱/۰۴ | ۵/۴۴ | ۱۲/۸۷ |
| Benzo (b) fluoranthene (BbF) | ۶/۴۱ | ۱۶/۶۵ | ۱۷/۶۴ | ۸/۳۶ | ۱۳/۹۸ | ۷/۱۶ | ۶/۳۵ | ۸/۷۷ |
| Benzo (e) pyrene (BeP) | ۹/۹۷ | ۱۴/۰۹ | ۹/۴۵ | ۱۹/۰۲ | ۱۴/۹۸ | ۱۱/۱۳ | ۱۵/۰۴ | ۵/۶۶ |
| Benzo (a) pyrene (BaP) | ۱۳/۷۶ | ۱۴/۴۳ | ۱۳/۶۵ | ۱۱/۰۲ | ۱۹/۰۹ | ۲۰/۹۹ | ۱۶/۰۴ | ۹/۱۲ |
| Perylene (Per) | ۱۳۱/۴۴ | ۱۴۴/۴۵ | ۱۰/۱/۴۴ | ۲۰۴/۴۱ | ۱۴۲/۷۶ | ۱۷۳/۹۵ | ۱۸۲/۴۵ | ۱۲۴/۶۶ |
| Total PAH (Σ 22PAH) | ۹۵۱/۸۵ | ۸۸۹/۶۴ | ۷۹۸/۴۰ | ۱۰۰۱/۹۳ | ۹۶۲/۸۲ | ۹۸۲/۰۵ | ۱۰۱۸/۵۸ | ۸۸۷/۲۸ |
| TOC | ۹۰/۶۵ | ۷۷/۴۳ | ۵۸/۴ | ۸۰/۳۳ | ۱۱۱/۱ | ۱۲۸/۰ | ۱۱۷ | ۵۵/۶ |
| Σ 22PAH/TOC | ۱۰/۵۰۰ | ۱۱/۴۹۰ | ۱۳/۶۷۱ | ۱۳/۰۹۵ | ۸/۶۶۶ | ۷/۶۴۲ | ۸/۷۰۶ | ۱۰/۹۵۸ |
| ^a LMW | ۷۸۱/۷۹ | ۶۷۲/۲۰ | ۵۸۱/۶۳ | ۸۶۱/۸۴ | ۷۳۹/۲۱ | ۷۹۰/۶۷ | ۸۲۷/۸۵ | ۷۳۰/۴۰ |
| ^b HMW | ۱۷۰/۰۶ | ۲۱۷/۴۴ | ۲۱۶/۷۷ | ۱۹۰/۱۰ | ۲۲۳/۶۱ | ۱۹۱/۳۸ | ۱۹۰/۷۳ | ۱۵۶/۸۸ |
| Σ 5rings | ۱۷۶/۰۱ | ۲۰۲/۳۶ | ۱۶۵/۷۷ | ۲۵۳/۸۱ | ۲۰۶/۳۵ | ۲۲۴/۷۷ | ۲۲۶/۳۲ | ۱۶۱/۰۸ |
| منطقه سیاه کشیدم (B) | B1 | B2 | B3 | B4 | B5 | B6 | B7 | B8 |
| Benzo (k) fluoranthene (BkF) | ۱۰/۰۳ | ۹/۱۱ | ۱۱/۶۸ | ۱۰/۹۷ | ۱۱/۶۶ | ۹/۸۷ | ۹/۳۴ | ۱۰/۰۵ |
| Benzo (b) fluoranthene (BbF) | ۵/۸۲ | ۱۳/۴۳ | ۸/۸۳ | ۶/۶۴ | ۷/۲۷ | ۱/۷۴ | ۱۴/۴۳ | ۹/۹۳ |
| Benzo (e) pyrene (BeP) | ۵/۷۶ | ۱۱/۹۸ | ۹/۸۷ | ۱/۰۱ | ۵/۴۳ | ۶/۰۹ | ۱/۳۱ | ۶/۳۶ |
| Benzo (a) pyrene (BaP) | ۷/۴۳ | ۱۵/۰۵ | ۷/۶۱ | ۸/۶۳ | ۱۳/۰۹ | ۷/۹۸ | ۶/۰۹ | ۶/۷۱ |
| Perylene (Per) | ۷۰/۶۵ | ۹۴/۴۴ | ۱۰۰/۲۳ | ۸۶/۶۵ | ۹۰/۹۸ | ۷۹/۹۸ | ۸۰/۹۳ | ۱۰۸/۳۳ |
| Total PAH (Σ 22PAH) | ۶۳۱/۳۸ | ۶۶۸/۲۴ | ۸۳۳/۶۶ | ۷۴۴/۹۳ | ۵۶۰/۰۵ | ۶۸۵/۱۱ | ۶۹۸/۲۸ | ۵۷۳/۹۸ |
| TOC | ۵۳/۴۰ | ۹۴/۴۱ | ۴۹/۷۰ | ۸۹/۰۵ | ۳۱/۸۰ | ۶۹/۴۰ | ۸۸/۲۳ | ۵۳/۳۴ |
| Σ 22PAH/TOC | ۱۱/۸۲۰ | ۷/۰۷۸ | ۱۶/۷۷۴ | ۸/۳۲۳ | ۱۷/۶۱۲ | ۹/۸۷۲ | ۷/۹۱۴ | ۱۰/۷۶۱ |
| LMW | ۴۹۲/۳۷ | ۵۴۱/۶۸ | ۶۹۸/۷۴ | ۶۲۹/۰۷ | ۴۳۶/۰۲ | ۵۳۶/۸۷ | ۵۶۹/۰۳ | ۴۴۷/۸۳۶ |
| HMW | ۱۳۹/۰۱ | ۱۲۶/۰۷ | ۱۳۴/۹۲ | ۱۱۵/۸۶ | ۱۲۴/۰۳ | ۱۴۸/۳۰ | ۱۲۹/۲۵ | ۱۲۶/۱۵ |
| Σ 5rings | ۱۰۰/۱۹ | ۱۴۴/۵۱ | ۱۳۸/۲۲ | ۱۱۳/۹ | ۱۲۸/۴۳ | ۱۰۵/۶۶ | ۱۱۲/۱۹ | ۱۴۱/۳۸ |

ادامه جدول ۲: غلظت پریلن و ایزومرهای ۵ حلقوی آن بهمراه غلظت کلی ترکیبات PAH در هر یک از نمونه‌های رسوب و خاک

| منطقه تالاب مرکزی (C) | C1 | C2 | C3 | C4 | C5 | C6 | C7 | C8 |
|------------------------------|--------|--------|--------|--------|--------|--------|--------|--------|
| Benzo (k) fluoranthene (BkF) | ۱۷/۰۹ | ۱۰/۵۲ | ۱۱/۹۲ | ۱۳/۳۴ | ۱۳/۴۳ | ۲۲/۰۹ | ۱۶/۸۷ | ۱۳/۴۳ |
| Benzo (b) fluoranthene (BbF) | ۱۱/۹۸ | ۱۶/۹۸ | ۶/۴۲ | ۲/۸۷ | ۱۰/۹۸ | ۱۰/۸۶ | ۱۲/۸۷ | ۱۶/۰۹ |
| Benzo (e) pyrene (BeP) | ۸/۹۱ | ۷/۶۳ | ۲/۵۶ | ۱/۸۴ | ۳/۸۳ | ۷/۶۵ | ۹/۰۲ | ۱۳/۸۷ |
| Benzo (a) pyrene (BaP) | ۱۱/۰۹ | ۱۳/۳۱ | ۴/۵۴ | ۸/۸۷ | ۸/۳۲ | ۱۲/۴۴ | ۱۷/۰۰ | ۱۵/۰۵ |
| Perylene (Per) | ۸۸/۲۱ | ۱۲۹/۹۷ | ۱۰۱/۱۱ | ۱۰۹/۹۳ | ۱۲۶/۷۷ | ۹۸/۸۷ | ۱۳۲/۲۲ | ۱۱۹/۲۳ |
| Total PAH (Σ 22PAH) | ۷۳۵/۸۸ | ۸۰۸/۸۳ | ۶۳۴/۵۲ | ۷۶۵/۲۸ | ۵۹۹/۰۲ | ۶۰۱/۱۵ | ۷۱۸/۹۲ | ۷۶۲/۴۸ |
| TOC | ۹۳/۲۱ | ۱۱۲/۵۰ | ۶۰/۶۰ | ۱۰۰/۱۰ | ۴۶/۹۸ | ۵۵/۱۰ | ۸۷/۸۰ | ۳۹/۲۰ |
| Σ 22PAH/TOC | ۷/۸۹۵ | ۷/۱۹۰ | ۱۰/۴۷۱ | ۷/۶۴۵ | ۱۲/۷۵۱ | ۱۱/۸۱۸ | ۸/۱۸۸ | ۱۹/۴۵۱ |
| LMW | ۵۶۲/۹۰ | ۶۲۹/۱۶ | ۴۸۶/۲۲ | ۵۹۶/۰۴ | ۴۷۸/۳۷ | ۵۰۱/۴۵ | ۵۳۵/۷۴ | ۵۸۳/۳۰ |
| HMW | ۱۷۲/۹۸ | ۱۷۹/۹۷ | ۱۴۸/۳۰ | ۱۶۹/۲۳ | ۱۲۰/۶۵ | ۱۴۹/۷۰ | ۱۸۳/۱۸ | ۱۷۹/۱۸ |
| Σ 5rings | ۱۳۷/۲۸ | ۱۷۵/۴۱ | ۱۷۶/۵۵ | ۱۳۶/۸۵ | ۱۶۳/۳۳ | ۱۵۲/۹۱ | ۱۸۷/۹۸ | ۱۷۸/۱۷ |

^a LMW: Sum of Naph, Acy, Ace, Fl, Ph, An, 3MP, 2MP, 2MA, 9MP and 1MP.^b HMW: Sum of Flu, Pyr, Chr, BaA, BkF, BbF, DahA, BeP, BaP, Per, BghiP and IP. Σ 5rings: Sum of BkF, BbF, BeP, BaP and Per.

رسوبات منطقه B بین (۱۵۹/۹۴) تا ۲۰۴/۴۱ با میانگین (۱۲۴/۶۶) ۰.۵ ng/g رسوبات منطقه C بین (۸۶/۶۵) تا ۱۴۶/۶۱ (۸۹/۰۲) و در رسوبات منطقه A بین (۱۴۶/۶۱) تا ۸۸/۲۱ (۱۵۱/۱۱) (۱۱۹/۰۴) بدهست آمد. همچنین غلظت پریلن برای ۲ نمونه خاک A2 و A3 به ترتیب برابر ۱۴۴/۴۵ ng/g (dry weight) و ۱۰۱/۴۴ ng/g (dry weight) بودند. میانگین غلظت پریلن در نمونه‌های رسوب و خاک منطقه ۲. نیز به ترتیب معادل ۱/۷۵ ng/mg، ۱/۸۶ و ۱/۸۵ در TOC بدست آمد.

- مقایسه غلظت ترکیبات PAH در نمونه‌های رسوب و خاک مقایسه غلظت کلی ۲۲ ترکیب PAH

نتایج آزمون ANOVA نشان داد، که بین غلظت کلی ۲۲ ترکیب PAH در نمونه‌های رسوب و خاک ۳ ایستگاه مورد بررسی رابطه معنی‌دار در سطح اعتماد ۹۵٪ وجود دارد. متحلف مقادیر کلی ترکیبات PAH را در ۲ گروه قرار داد. در مجموع غلظت کلی ترکیبات PAH در نمونه‌های اخذ شده از

غلظت کلی ۲۲ ترکیب PAH

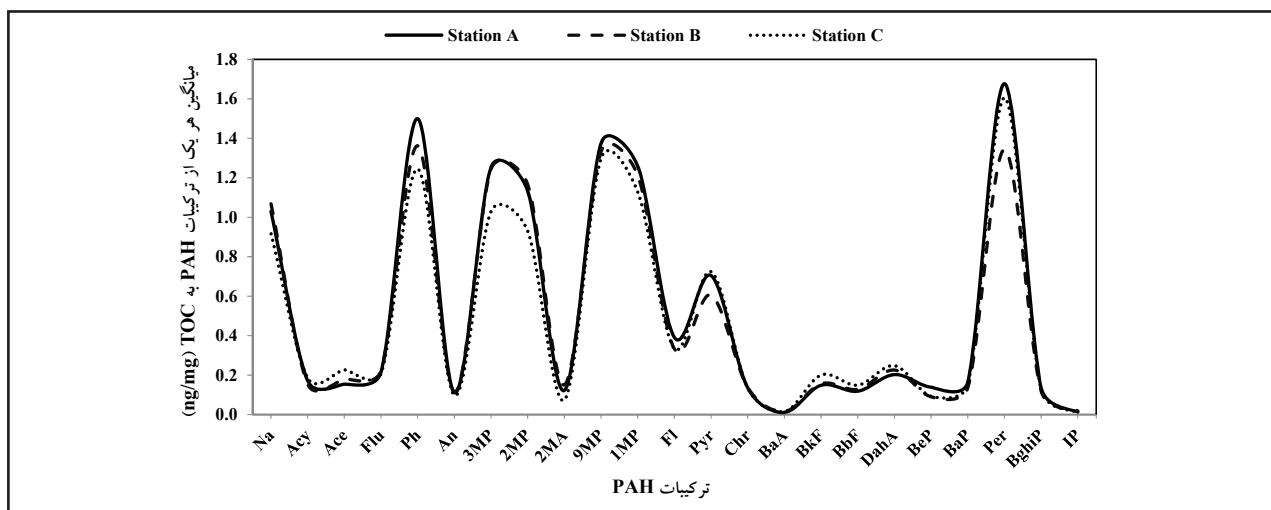
غلظت کلی ۲۲ ترکیب PAH (بدون در نظر گرفتن پریلن) برای تمامی نمونه‌ها در محدوده (dry weight) ۵۶۰/۰۵ تا ۱۰۵۱/۹۳ mg/g و مقدار TOC بین ۳۱/۸۰ تا ۱۲۸/۵ تعیین گردید. غلظت ترکیبات کلی PAH در نمونه‌های رسوب و خاک منطقه قلم گوده (A) بین (dry weight) ۷۹۸/۴۰ ng/g تا ۱۰۵۱/۹۳ با میانگین (۹۴۲/۸۲)، در رسوبات منطقه سیاه‌کشیم (B) بین (dry weight) ۵۶۰/۰۵ ng/g تا ۸۷۴/۴۵ (۸۳۳/۶۶) و در رسوبات منطقه مرکزی (C) بین (dry weight) ۸۰۸/۸۳ تا ۵۹۹/۰۲ ng/g (dry weight) ۷۰۹/۵۱ تا ۱۱/۲۷، ۱۱/۲۷ و ۱۰/۶۸ TOC بدست آمد.

غلظت پریلن

غلظت پریلن در نمونه‌های رسوب در محدوده (weight) ۷۰/۶۵ ng/g تا ۲۰۴/۴۱ (۷۰۴/۴۸) تعیین گردید. همچنین غلظت این ترکیب در رسوبات منطقه A بین (dry weight)

آزمون ANOVA نشان داد که، هیچ‌گونه رابطه معنی‌داری بین مقادیر نرمالایز شده غلظت کلی ترکیبات PAH به در نمونه‌های مورد بررسی ۳ منطقه مورد بررسی وجود ندارد ($F=0.06$ و $p\text{-value}=0.94$). شکل ۲ میانگین غلظت هر یک از ترکیبات PAH به TOC (مقادیر نرمالایز شده ترکیبات TOC) در نمونه‌های رسوب و خاک سطحی هر ۳ را نشان می‌دهد.

منطقه A به طور معنی‌داری بیشتر از ۲ منطقه B و C بdst است آمد و این در حالی است که بین ۲ منطقه B و C از نظر غلظت کلی ترکیبات PAH اختلاف معنی‌داری مشاهده نشد. همچنین بیشترین غلظت ۲۲ ترکیب PAH به ترتیب در نمونه‌های A4 و A6 و C5 و B8 مشاهده شد. نتایج آزمون Levene نیز همگن بودن واریانس مشاهده شد. نتایج آزمون $p\text{-value}=0.98$ از طرف دیگر نتایج خطاهای را نشان داد.



شکل ۲: میانگین هر یک از ترکیبات PAH به TOC در نمونه‌های رسوب و خاک سطحی

دیگر بیشترین غلظت پریلن به ترتیب در نمونه‌های رسوب B7، A4 و A7 و K مترين آن در نمونه‌های B6، B1 و B7 مشاهده شد. نتایج حاصل از آزمون Levene نیز همگن بودن واریانس خطاهای را نشان داد ($p\text{-value}=0.18$). همچنین نتایج آزمون ANOVA نشان داد که، هیچ‌گونه رابطه معنی‌داری بین مقادیر نرمالایز شده پریلن به TOC در رسوبات ۳ منطقه مورد بررسی وجود ندارد ($F=0.06$ و $p\text{-value}=0.94$).

- تعیین منشا ترکیبات PAH در نمونه‌های رسوب و خاک نتایج حاصل از نسبت‌های تشخیصی مورد استفاده بهمنظور تعیین منشا ترکیبات PAH در نمونه‌های رسوب و خاک مورد بررسی در این مطالعه، در جدول ۳ نشان داده شده است.

مقایسه غلظت ترکیبات پریلن نتایج آزمون ANOVA، نشان داد که بین غلظت پریلن در نمونه‌های رسوب و خاک ۳ منطقه مورد بررسی رابطه معنی‌دار در سطح اعتماد ۹۵٪ وجود دارد ($p\text{-value}=0.01$) و $F=5.38$. آزمون LSD سطوح مختلف مقادیر پریلن را در ۲ گروه قرار داد. در مجموع غلظت پریلن در نمونه‌های رسوب و خاک سطحی منطقه A همانند مقادیر کلی ترکیبات PAH به طور معنی‌داری بیشتر از ۲ منطقه B و C بdst آمد و این در حالی است که بین ۲ منطقه B و C از نظر غلظت پریلن اختلاف معنی‌داری بdst نیامد. همچنین غلظت‌های بdst آمده برای پریلن در ۲ نمونه خاک مورد بررسی از منطقه A، در محدوده غلظت‌های بdst آمده برای این ترکیب در نمونه‌های رسوب همین منطقه و ۲ منطقه B و C بdst آمد. از طرف

جدول ۳: نسبت‌های تشخیصی مورد استفاده بهمنظور تعیین منشا ترکیبات PAH در نمونه‌های رسوب و خاک

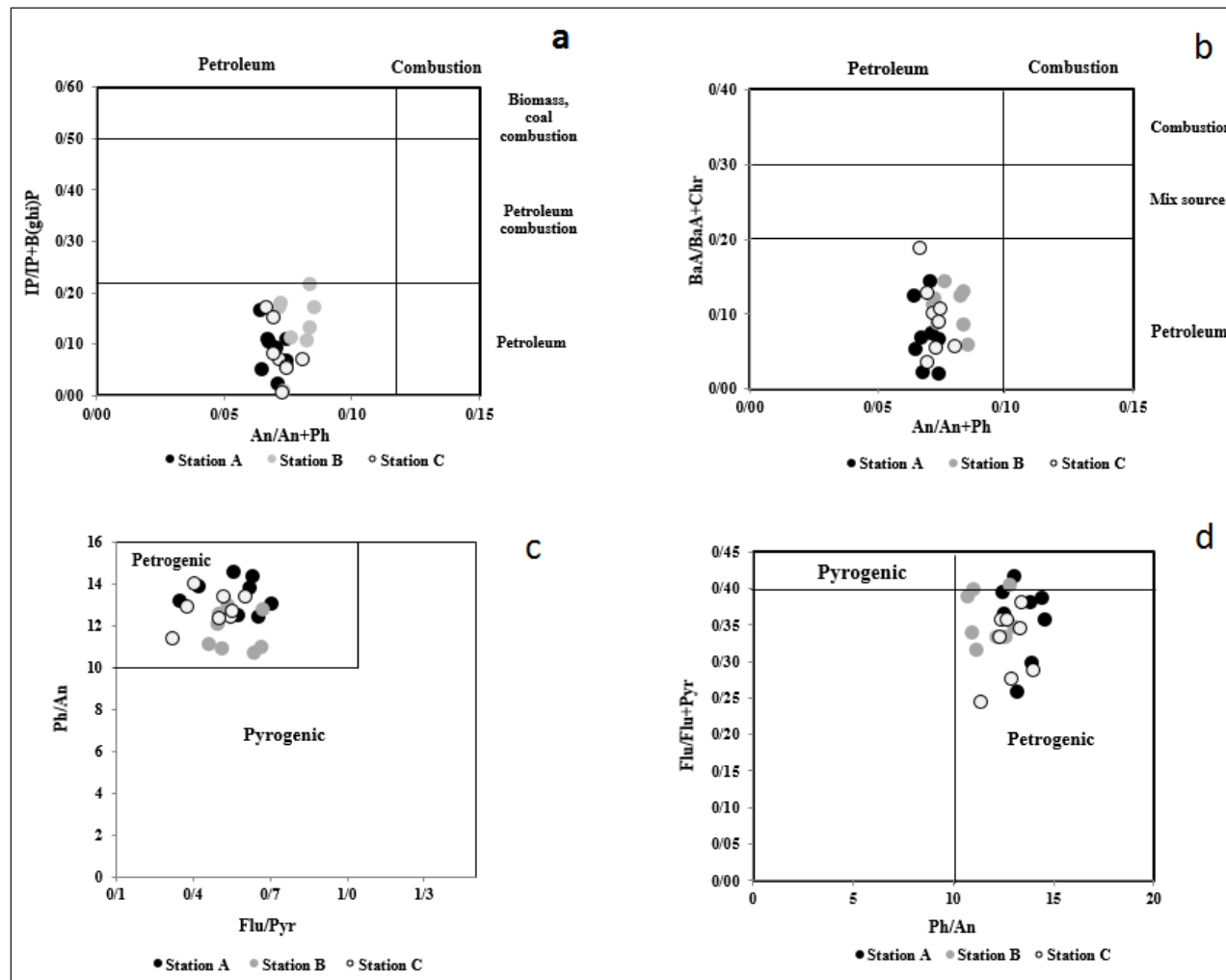
| نسبت تشخیصی | منşa پایروژنیک | منşa پتروژنیک | تحقيق حاضر | | منبع |
|---------------|----------------|---------------|-------------|---------|------|
| | | | محدوده | میانگین | |
| Ph/An | <10 | >10 | ۱۰/۷۱-۱۴/۵۸ | ۱۲/۷۰ | (۳۳) |
| Flu/Pyr | >1 | <1 | ۰/۳۲-۰/۷۱ | ۰/۵۳ | (۳۳) |
| Flu/(Flu+Pyr) | >۰/۵ | <۰/۴ | ۰/۲۴-۰/۴۱ | ۰/۳۵ | (۲۴) |
| IP/(IP+Bghi) | >۰/۵ | <۰/۲ | ۰/۰۱-۰/۲۱ | ۰/۱ | (۲۴) |
| MP/P | <1 | >1 | ۲/۴۵-۴/۲۶ | ۳/۵۱ | (۲۲) |
| BaA/(BaA+Chr) | >۰/۳۵ | <۰/۲ | ۰/۰۲-۰/۱۹ | ۰/۰۹ | (۲۴) |
| An/(An+Ph) | >۰/۱ | <۰/۱ | ۰/۰۶-۰/۰۸ | ۰/۰۷ | (۲۴) |
| LMW/HMW | <1 | >1 | ۲/۶۸-۵/۴۳ | ۳/۸۴ | (۹) |

کمتر از ۱ باشد، منشا پتروژنیک Flu/Pyr بیشتر از ۱۰ و An خواهد بود (۶). با توجه به اینکه نسبت Ph/An در محدوده ۱۰/۷۱ تا ۱۴/۵۸ و نسبت Flu/Pyr بین ۰/۳۲ تا ۰/۷۱ بدست آمده است، بنابراین منشا ترکیبات PAH، در تمامی نمونه‌ها پتروژنیک است (شکل ۳c). همچنین در مطالعات بسیاری از نسبت فناتنرن به آنتراسن (Ph/An) و فلوئورانتن به فلوئورانتن بعلاوه پایرین (Flu/Flu+Pyr) بهمنظور تعیین منشا ترکیبات PAH استفاده شده است. مشخص شده که اگر نسبت Ph/An کمتر از ۱۰ و نسبت Flu/Flu+Pyr بیشتر از ۱۰/۵ باشد، منشا پایروژنیک و اگر نسبت Ph/An کمتر از ۱۰/۴ باشد، منشا پتروژنیک خواهد بود (۹). شکل ۳d مقادیر بدست آمده برای نسبت Ph/An در مقابل Flu/Flu+Pyr را به نمایش می‌گذارد، که در آن تمامی نمونه‌های رسوب و خاک دارای منشا پتروژنیک است. همچنین در مطالعه حاضر، برای نسبت آنتراسن به آنتراسن بعلاوه فناتنرن (An/An+Ph) مقادیر بین ۰/۰۶ تا ۰/۰۸، برای نسبت بنزو (a) آنتراسن به بنزو (a) آنتراسن بعلاوه کرایزن (BaA/BaA+Chr) بین ۰/۰۲ تا ۰/۱۹ و برای نسبت ایندنو (1,۲,۳-cd) پایرین به ایندنو (1,۲,۳-cd) پایرین بعلاوه بنزو (g,h,i) پریلن (IP/IP+BghiP) بین ۰/۰۱ تا ۰/۰۲۱ بدست آمد. Yunker و همکاران (۲۰۰۲) مشخص کردند که اگر

در تمامی نمونه‌های رسوب و خاک مورد بررسی در مطالعه حاضر، نسبت ترکیبات PAH با وزن مولکولی کم به ترکیبات با وزن مولکولی بالا (LMW/HMW) در محدوده ۲/۶۸ تا ۵/۴۳ قرار گرفت. به عبارت دیگر غلظت ترکیبات PAH با وزن مولکولی کم بیشتر از ترکیبات با وزن مولکولی بالا بدست آمد. در مطالعات بسیاری مشخص شد که اگر نسبت PAH LMW/HMW کمتر از ۱ باشد، منشا ترکیبات PAH پایروژنیک و اگر بیشتر از ۱ باشد، منشا پتروژنیک خواهد بود (۹). با توجه به مقادیر بدست آمده برای این نسبت در مطالعه حاضر، منشا ترکیبات PAH در تمامی نمونه‌های رسوب و خاک، پتروژنیک تشخیص داده شد. همچنین نسبت مجموع ترکیبات متیل فناتنرن به فناتنرن (MP/P) در محدوده ۲/۴۵ تا ۴/۲۶ بدست آمد (جدول ۳). در مطالعات متعدد مشخص شده که اگر مقدار این نسبت کمتر از ۱ باشد، منشا پایروژنیک و برای مقادیر بیشتر از ۱ منشا پتروژنیک خواهد بود (۲۳). از آنجا که مقادیر بدست آمده برای این نسبت در تمامی نمونه‌ها بیشتر از ۱ بدست آمد، بنابراین منشا ترکیبات پتروژنیک خواهد بود. به عنوان یک قاعده کلی در بین محققان مشخص شده که اگر نسبت فناتنرن به پایرین (Flu/Pyr) بیشتر کمتر از ۱۰ و نسبت فلوئورانتن به پایرین (Flu/Flu+Pyr) بیشتر از ۱ باشد، منشا ترکیبات PAH پایروژنیک و اگر نسبت Ph/An

بیشتر از ۵۰٪ باشد، منشأ پایروژنیک خواهد بود (۲۳). با توجه به مقادیر بدست آمده برای نسبت‌های فوق، منشأ ترکیبات PAH در تمامی نمونه‌های رسوب و خاک در این مطالعه پتروژنیک است (شکل ۳a و ۳b).

نسبت BaA/BaA+Chr کمتر از ۰/۱، IP/IP+BghiP کمتر از ۰/۲ باشد، منشأ ترکیبات PAH پتروژنیک و در صورتی که نسبت An/An+Ph بیشتر از ۰/۱، IP/IP+BghiP بیشتر از ۰/۳۵ و نسبت BaA/BaA+Chr



شکل ۳: نسبت‌های تشخیصی مورد استفاده بهمنظور تعیین منشأ ترکیبات PAH در نمونه‌های رسوب و خاک سطحی: (a) نسبت $\text{An}/\text{An}+\text{Ph}$ در برابر $\text{IP}/\text{IP}+\text{B}(\text{ghi})\text{P}$ ؛ (b) نسبت $\text{BaA}/\text{BaA}+\text{Chr}$ در برابر $\text{An}/\text{An}+\text{Ph}$ ؛ (c) Ph/An در برابر Flu/Pyr ؛ (d) $\text{Flu}/\text{Flu}+\text{Pyr}$ در برابر Ph/An در برابر $\text{BaA}/\text{BaA}+\text{Chr}$ در برابر $\text{An}/\text{An}+\text{Ph}$ در برابر $\text{Flu}/\text{Flu}+\text{Pyr}$

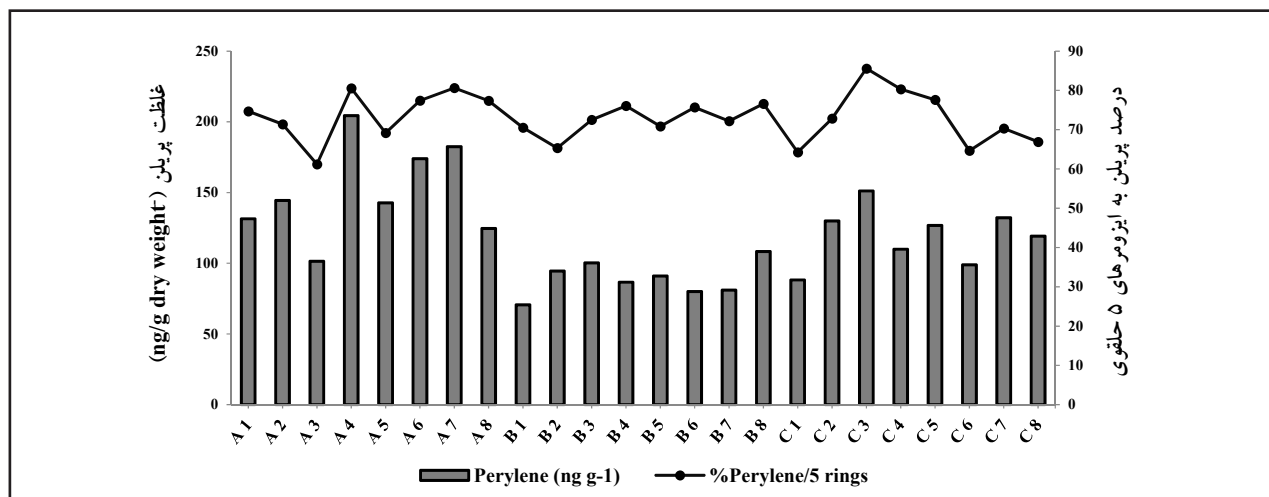
خود ($\text{Pyr}/\sum \text{PAI}$) و نسبت پایرن به پریلن ($\text{Per}/\sum \text{PAH}$) حاصل شود. در مطالعات بسیاری مشخص شده که اگر درصد $\text{Per}/\sum \text{PAH}$ بین ۱-۴٪ باشد، منشأ پریلن پایروژنیک و یا به عبارت دیگر انسانی خواهد بود (۱۰). همچنین اگر درصد

تعیین منشأ پریلن نگرش کلی جهت تمایز بین منشأ انسانی و طبیعی پریلن می‌تواند بوسیله درصد پریلن به مجموع ترکیبات PAH (%Pre/ $\sum \text{PAH}$)، درصد پریلن به ایزومرهای ۵ حلقوی

۴ غلظت پریلن در مقابل درصد پریلن به ایزومرهای ۵ حلقوی آن را در تمامی نمونه‌های رسوب و خاک نشان می‌دهد. بیشترین مقدار درصد Per/ \sum PAI در نمونه‌های رسوب C3 (A4 و A7) و شمال منطقه C (C4) مشاهده شد. همچنین در تمامی نمونه‌ها میزان غلظت پریلن نسبت به ایزومرهای ۵ حلقوی خود بیش از ۱۰٪ (بین ۶۱/۲۱ تا ۸۶/۵۹٪) بدست آمد، که نشان می‌دهد این ترکیب دارای منشا طبیعی غالب در نمونه‌های رسوب و خاک‌اند.

Per/ \sum PAI بیشتر از ۱۰٪ باشد، منشا پریلن طبیعی و در صورتی که کمتر از ۱۰٪ باشد، منشا پایروژنیک است (۳، ۴، ۹ و ۱۱). از طرف دیگر اگر نسبت Pyr/Per کمتر از ۹ باشد، منشا پریلن بیوژنیک یا طبیعی و اگر بیشتر از ۹ باشد، منشا این ترکیب، پایروژنیک است (۱۷).

در تمامی نمونه‌های مورد بررسی در مطالعه حاضر، نسبت Per/ \sum 22PAH در محدوده ۰/۲۵ تا ۰/۷ و درصد Pyr/Per بین ۱۱ تا ۲۴٪ بدست آمد، بدین معنی که پریلن منشا بیوژنیک داشته و عمده‌تا در اثر فرآیندهای طبیعی تولید شده است. شکل



شکل ۴: نمودار غلظت پریلن نسبت به درصد پریلن به ایزومرهای ۵ حلقوی در نمونه‌های رسوب و خاک سطحی

(۲۸)، دریای چین شرقی (۲۹) (۲۲-۲۶۲ ng/g) و خلیج Ushuaia (۳۰) (۳۶۰ ng/g) و کمتر از برخی نواحی آلوده جهان همچون دریای مدیترانه غربی (۱-۲۰۴۰ ng/g) (۳۱)، خلیج Fos (۱۳۷۸۰ ng/g) (۳۲) و ناحیه ساحلی Sfax-Kerkennah (۱۰۷۲۰-۱۱۳۰ ng/g) (۳۲) قرار گرفت. همچنین Baumard (۱۹۹۸) و همکاران (۳۳) برای طبقه‌بندی وضعیت آلودگی رسوبات به ترکیبات PAH، نمونه‌های با غلظت (۰-۱۰۰ ng/g) را در دسته رسوبات با آلودگی کم، (۵۰۰۰-۱۰۰۰۰) متوسط، (۱۰۰۰-۵۰۰۰) بالا و (بیشتر از ۱۰۰۰۰) را در دسته رسوبات با آلودگی بسیار بالا قرار دادند (۳۳). بر مبنای این طبقه‌بندی، رسوبات مورد بررسی در این مطالعه

بحث

از مقایسه غلظت‌های بدست آمده برای ۲۲ ترکیب PAH مورد بررسی در این مطالعه با سایر مطالعات صورت گرفته در دنیا، می‌توان نتیجه گرفت که سطوح آلودگی در این تالاب در گستره کم تا متوسط قرار می‌گیرد. غلظت‌های بدست آمده در مطالعه حاضر، در محدوده مقادیر حاصل از مطالعات انجام شده روی رسوبات سواحل شمالی دریای خزر (۴-۴۸۰۰ ng/g) (۲۵)، خلیج Jiaozhou (۲۰-۲۱۶۴ ng/g) (۲۶) و سواحل جنوبی دریای خزر (۱۵۰-۱۶۰۰ ng/g) (۲۷) بدست آمد. اما غلظت کلی ترکیبات PAH در این مطالعه بالاتر از برخی نواحی ساحلی جهان همچون دریای Bohai (۳۷-۵۳۷ ng/g) (۲۸)

تردد قایق‌های صیادی و گردشگری را می‌توان به عنوان منابع عمده ورود این گروه از آلاینده‌ها به رسوبات تالاب انزلی در نظر گرفت.

در بررسی‌های به عمل آمده در خصوص میزان آب ورودی به تالاب انزلی مشخص شده است، که سالانه حدود 2000000 m^3 آب از طریق ۲۲ رودخانه و زهکش به این تالاب وارد می‌شود (۳۵). اکثر جریان‌های وارد شده به این تالاب پس از عبور از مناطق جنگلی، صنعتی، روستایی و شهرهایی مثل رشت، انزلی، فومن و صومعه‌سرا انواع آلاینده‌های آلى از جمله ترکیبات نفتی، مواد رسوبی و فاضلاب‌های خانگی و صنعتی را حمل و در نهایت بوسیله ۲ کانال خروجی انزلی و غازیان (۳۶) وارد دریای خزر می‌نمایند. در رابطه با این مسئله می‌توان به رودخانه پیر بازار اشاره کرد که به عنوان آلووده‌ترین رودخانه وارد شده به تالاب انزلی از آن یاد می‌شود. این رودخانه که از دو جویبار کوچک‌تر زرچوب و گوهر رود از شهر رشت سرچشم می‌گیرد در مسیر خود فاضلاب‌های شهری و صنایعی از قبیل فولادسازی، لاستیک‌سازی، سرامیک‌سازی، پلاستیک‌سازی و کارخانه پارس خزر مستقر در شهر رشت را دریافت و به تالاب انزلی تخلیه می‌کند. همچنین با توجه به بارندگی‌های شدید و فراوانی که در سطح حوضه آبخیز تالاب انزلی و بالاخص نواحی ساحلی این تالاب به وقوع می‌پیوندد، مقادیر قابل توجهی از مشتقات نفتی از قبیل روغن، گازوئیل و اماثلهم در طی بارندگی از سطح راه‌ها و معابر آسفالته شسته شده و از طریق رواناب‌ها و رودخانه‌ها وارد تالاب انزلی می‌گردد. با وجود اینکه در حال حاضر فعالیت‌های استخراج نفت در سواحل دریای خزر وجود ندارد، ولی واردات فرآورده‌های نفتی از قبیل گازوئیل، روغن و بنزین در ده قبلي در اسکله بندر انزلی در دست انجام بوده است (۵). بنابراین مقادیر زیادی از مواد نفتی از جمله ترکیبات PAH می‌تواند از طریق تخلیه مواد زاید نفتی به هنگام شستشوی تانکرهای نفت‌کش، تخلیه آب توازن آلووده به مواد نفتی و نشت مواد نفتی در زمان بارگیری و یا تخلیه به تالاب انزلی راه یابد. علاوه بر موارد ذکر شده نشت مواد نفتی به دریای خزر و به

دارای سطح آلوودگی متوسط‌اند، که این موضوع می‌تواند در رابطه با حلالیت کم، ویژگی آبگریز بودن و پایداری زیاد ترکیبات PAH باشد که باعث می‌شود به سرعت جذب رسوبات و ذرات معلق شوند (۴).

بررسی نتایج حاصل از مقایسه غلظت کلی ترکیبات PAH در نمونه‌های رسوب و خاک ۳ منطقه مورد مطالعه نشان می‌دهد، که بیشترین غلظت در منطقه قلم گوده (A) و در نمونه‌های A6 زدیک به خروجی تالاب انزلی یعنی A4، A7 و A6 مشاهده می‌شود. علت بالا بودن غلظت ترکیبات PAH در این بخش از تالاب را می‌توان به دلایل متعددی همچون تخلیه فاضلاب خانگی و صنعتی، فعالیت‌های بندری و کشتیرانی، تردد قایق‌های صیادی و گردشگری، زدیکی به مناطق شهری، روستایی و صنعتی مرتبه دانست. منطقه قلم گوده به سبب موقعیت مکانی که در تالاب انزلی دارد (مجاورت با کانال خروجی تالاب انزلی)، حجم وسیعی از آلاینده‌های آورده شده به تالاب را دریافت می‌کند، که این عامل باعث افزایش میزان ترکیبات PAH در آن می‌شود. همچنین در مطالعات متعددی مشخص شده که جریان‌های آلووده بخش شرقی و غربی تالاب انزلی در نهایت وارد بخش مرکزی شده (۳۴) و پس از عبور از منطقه قلم گوده از طریق کانال کشتیرانی انزلی وارد دریای خزر می‌شود. علاوه بر موارد ذکر شده نفوذ آب دریای خزر به تالاب انزلی در موقع طوفانی، بخشی از مواد نفتی را از طریق کانال کشتیرانی به داخل تالاب انزلی حمل می‌نماید (۵)، که این خود باعث آلوودگی بیشتر این بخش از تالاب به مواد نفتی همچون ترکیبات PAH نیز شده است.

منشا ترکیبات PAH در نمونه‌های مورد بررسی در این مطالعه، پتروژنیک بدست آمد. در مطالعات بسیاری مشخص شده که منشا پتروژنیک ترکیبات PAH در نتیجه ورود نفت خام، نفت تصفیه شده و فرآورده‌های نفتی احتراق نیافته از طریق ریزش مستقیم نفت، تردد نفت‌کش‌ها و رواناب‌های شهری است (۴). تخلیه انواع فاضلاب‌های خانگی و صنعتی، استقرار صنایع در اطراف تالاب، فعالیت‌های بندری و کشتیرانی، فعالیت‌های استخراج، اکتشاف و پالایش نفت خام در مناطق فراساحلی و

رفت و آمد افراد به این منطقه محدود گردد. بدنبال این موضوع حجم زیادی از لاشبرگ و مواد چوبی و سلولزی در طی سال‌ها در این منطقه روی هم انباسته شده و شرایط مناسبی را برای تجزیه این مواد توسط قارچ‌ها و دیگر میکرووارگانسیم‌ها فراهم آورده است. فعالیت قارچ‌ها و سایر میکرووارگانسیم‌ها در این منطقه می‌تواند مقادیر زیادی از پریلن را تولید کند که در نهایت به‌وسیله جریانات و رواناب‌ها به رسوبات سطحی اطراف منطقه قلم‌گوده نسبت به ۲ منطقه سیاه‌کشیم و تالاب مرکزی به‌طور معنی‌داری افزایش یابد. غلظت‌های بدست آمده برای پریلن در ۲ نمونه خاک اخذ شده از منطقه قلم‌گوده، می‌تواند به اثبات این موضوع که پریلن در پسی فعالیت قارچ‌ها و دیگر میکرووارگانسیم‌ها تولید و پس از آن بوسیله جریانات و رواناب‌ها به رسوبات اطراف منتقل شده باشد، کمک کند. همچنین نتایج این مطالعه با سایر مطالعات صورت گرفته در رسوبات سطحی مصبی در مناطق حاره‌ای و نیمه‌حاره‌ای همخوانی دارد که غلظت بالای پریلن در این نقاط را در رابطه با فرایند بیوژنیک پیش‌سازه‌های موجود در خشکی دانسته‌اند که از طریق رودخانه‌ها و باران‌های شدید و فراوان به این نقاط آورده می‌شوند (۴). در واقع می‌توان گفت که پریلن در اثر فرایندهای بیوژنیک در سایر نقاط تالاب انزلی (در خشکی) تولید و پس از آن توسط جریانات به این رسوبات آورده شده‌اند. از طرف دیگر نتایج این مطالعه با دیگر مطالعات انجام شده در سایر عرض‌های جغرافیایی که در رسوبات سطحی آن‌ها پریلن در غلظت‌های کم مشاهده می‌شود، مغایرت دارد (۱۰، ۱۷).

منشاً پریلن در نمونه‌های رسوب و خاک مورد بررسی در این مطالعه برخلاف سایر ترکیبات PAH، طبیعی تشخیص داده شد، بدین معنی که این ترکیب عمده‌تر در اثر فرایندهای بیوژنیک تولید شده است و فرایندهای انسانی در تولید آن نقشی نداشته‌اند. فعالیت موریانه‌ها و قارچ‌ها روی مواد سلولزی کف جنگل، چوب‌های در حال فساد و باقی‌مانده فسیل آنها را می‌توان به عنوان منابع عمده ورودی پریلن به

دبیال آن تالاب انزلی در اثر افزایش روزافزون فعالیت‌هایی از قبیل استخراج و پالایش مواد نفتی و همچنین فعالیت شناورهای دریایی در نواحی فراساحلی از سوی کشورهای قزاقستان، آذربایجان و ترکمنستان، صورت گرفته است (۳۵). نفوذ آب دریایی خزر به تالاب انزلی از طریق کanal کشتیرانی در موقع طوفانی، بخشی از این مواد نفتی را به داخل تالاب حمل می‌نماید، که این خود می‌تواند به عنوان یکی دیگر از منابع احتمالی ورود ترکیبات PAH به محیط تالاب در نظر گرفته شود. همچنین یکی دیگر از منابع احتمالی ورود ترکیبات PAH به تالاب انزلی را می‌توان در رابطه با ریزش تصادفی و یا عمده پساب‌های روغنی و نفتی از قایقهایی که به‌منظور صید ماهی و گردشگری در سرتاسر تالاب تردد می‌کنند، دانست. یکی دیگر از منابع ورودی احتمالی ترکیبات نفتی به تالاب انزلی وجود ایستگاه پمپ بنزین در ساحل نهنگ روگا (شمال منطقه قلم‌گوده) است که کلیه شناورهای کوچک و متواتر از این ایستگاه سوخت مورد نیاز خود را تامین می‌کنند. عدم توجه به ریزش مواد نفتی در هنگام پمپاژ، ناحیه خروجی نهنگ روگا را آلوود نموده به‌طوری که در بیشتر مواقع لایه نازکی از مواد نفتی سطح آب را می‌پوشاند (۳۵).

به‌طور کلی در بین محققان این اعتقاد وجود دارد که پریلن تحت شرایط بی‌هوایی و از تجزیه پریلن کوینون‌ها و مشتقات آنها بوجود می‌آید (۱۰-۱۲)، بنابراین با افزایش عمق در رسوبات غلظت پریلن افزایش خواهد یافت (۱۰). بررسی غلظت پریلن در نمونه‌های رسوب و خاک سطحی مورد بررسی در مطالعه نشان می‌دهد، که مقادیر قابل توجهی از این ترکیب بالاخص در رسوبات منطقه قلم‌گوده (همانند سایر ترکیبات PAH مورد بررسی) و در نمونه‌های نزدیک به خروجی یا مصب تالاب انزلی (A4، A6 و A7) مشاهده می‌شود. گونه‌های جوجه‌آور زیادی از پرندگان تالاب انزلی، منطقه قلم‌گوده را به‌سبب ویژگی‌های محیطی از جمله درختان متعدد و بکر بودن آن، به‌منظور آشیانه‌گذاری و جوجه‌آوری انتخاب کرده‌اند. این عوامل باعث شده که سازمان حفاظت محیط زیست ایستگاهی را به‌منظور حفاظت از این گونه‌ها احداث کند که باعث شده

معنی داری بالاتر از سایر مناطق بدست آمد. منشا غالب ترکیبات PAH نیز پتروژئنیک و ناشی از ریزش مستقیم مواد نفتی و مشتقات آن از طریق جریانات وارد شده به تالاب، تردد قایقهای و واردات فرآورده‌های نفتی به اسکله انزلی تعیین گردید. ضمن اینکه منشا پریلن نیز در نمونه‌های رسوب سطحی و خاک، طبیعی تشخیص داده شد، بدین معنی که این ترکیب عمدتاً در اثر فرایندهای بیوژنیک تولید شده است.

تشکر و قدردانی

این مقاله حاصل بخش از پایان‌نامه با عنوان "استفاده از رسوبات و تخم پرنده‌گان مقیم کنار آبزی به عنوان پایشگر زیستی ترکیبات PAH در تالاب انزلی" در مقطع کارشناسی ارشد رشته محیط زیست دانشگاه تهران در سال ۱۳۹۲ است که با حمایت مالی آب منطقه‌ای گرگان اجرا شده است.

نویسنده‌گان این مقاله بر خود لازم می‌دانند که از آقای مهندس رنجبر کارشناس محترم آزمایشگاه مرکزی دانشکده کشاورزی دانشگاه تهران، خانم طاهره بطیاری دانشجوی کارشناسی ارشد دانشگاه آزاد علوم و تحقیقات تهران و جناب آقای معین‌الدینی دانشجوی دکترا دانشگاه تربیت مدرس به خاطر همکاری در مراحل مختلف این تحقیق تشکر و قدردانی نمایند.

رسوبات سطحی تالاب انزلی در نظر گرفت. مناطق جنگلی سطح وسیعی از حوضه آبخیز تالاب انزلی را تشکیل می‌دهند. از طرفی بارندگی‌های فراوان و شدیدی که در طی سال در این حوضه و بویژه نواحی ساحلی و اطراف تالاب انزلی به‌وقوع می‌پیوندد، باعث شده که مقدار رطوبت در این آبخیز زیاد و در نتیجه تجزیه مواد چوبی و سلولزی توسط قارچ‌ها و سایر میکرووارگانسیم‌ها به فور روی دهد. در مطالعات مختلف مشخص شده که تجزیه مواد چوبی توسط قارچ‌ها در مناطق مرطوب (۱۱)، میکرووارگانسیم‌ها (۱۵ و ۱۷) و ریزوبیوها (۱۸) منجر به تولید مقادیر بسیاری از پریلن می‌شود. بنابراین با توجه به ماهیت حوضه آبخیز انزلی بویژه نواحی اطراف تالاب انزلی این منابع را می‌توان به عنوان یکی دیگر از منابع احتمالی تولید پریلن در نظر گرفت، به‌طوری که این ترکیب در حوضه آبخیز انزلی و در مناطق جنگلی داخل محدوده تالاب از جمله منطقه قلم‌گوده تولید و از طریق رودخانه و رواناب‌ها به تالاب حمل و در رسوبات سطحی قرار می‌گیرد.

نتیجه‌گیری

در مطالعه حاضر، میزان غلظت ترکیبات PAH در رسوبات مورد بررسی در گستره کم تا متوسط قرار گرفت. همچنین غلظت‌های مشاهده شده در رسوبات منطقه قلم‌گوده به‌طور

منابع

- 1- Eisler R. Polycyclic aromatic hydrocarbon hazards to fish, wildlife, and invertebrates: A synoptic review. Laurel, MD: United States Department of the Interior; 1987.
- 2- Stevenson RW. Development and application of a model describing the bioaccumulation and metabolism of polycyclic aromatic hydrocarbons in a marine benthic food web [dissertation]. Burnaby: Simon Fraser University; 2003.
- 3- Hites RA, Laflamme RE, Windsor Jr JG, Farrington JW, Deuser WG. Polycyclic aromatic hydrocarbons in an anoxic sediment core from the Pettaquamscutt River (Rhode Island, U.S.A.). *Geochimica et Cosmochimica Acta*. 1980;44(6):873-78.
- 4- Tolosa I, De Mora S, Sheikholeslami MR, Villeneuve JP, Bartocci J, Cattini C. Aliphatic and aromatic hydrocarbons in coastal Caspian Sea sediments. *Marine Pollution Bulletin*. 2004;48(1-2):44-60.
- 5- Hajizade Zaker N, Rahmani I, Moghadam M, Shadi R, Abessei A. Concentration and origin of petroleum hydrocarbons in sediments Bandar Anzali. *Journal of Environmental Studies*. 2011;60:99-106 (in Persian).
- 6- Baumard P, Budzinski H, Michon Q, Garrigues P, Burgeot T, Bellocq J. Origin and bioavailability of PAHs in the Mediterranean Sea from mussel and sediment records. *Estuarine, Coastal and Shelf Science*. 1998;47(1):77-90.
- 7- Aizenshtat Z. Perylene and its geochemical significance. *Geochimica et Cosmochimica Acta*. 1973;37(3):559-67.
- 8- Soma Y, Tanaka A, Soma M, Kawai T. Photosynthetic pigments and perylene in the sediments of southern basin of Lake Baikal. *Organic Geochemistry*. 1996;24(5):553-61.
- 9- Ebrahimi-Sirizi Z, Riyahi-Bakhtiyari A. Petroleum pollution in mangrove forests sediments from Qeshm Island and Khamir Port—Persian Gulf, Iran. *Environmental Monitoring and Assessment*. 2013;185(5):4019-32.
- 10- Bakhtiari AR, Zakaria MP, Yaziz MI, Lajis MNH, Bi X, Rahim MCA. Vertical distribution and source identification of polycyclic aromatic hydrocarbons in anoxic sediment cores of Chini Lake, Malaysia: Perylene as indicator of land plant-derived hydrocarbons. *Applied Geochemistry*. 2009;24(9):1777-87.
- 11- Fan CW, Shiue J, Wu CY, Wu CY. Perylene dominance in sediments from a subtropical high mountain lake. *Organic Geochemistry*. 2011;42(1):116-19.
- 12- Itoh N, Hanari N. Possible precursor of perylene in sediments of Lake Biwa elucidated by stable carbon isotope composition. *Journal of Geochemistry*. 2010;44(3):161-66.
- 13- Havelcová M, Melegy A, Rapant, S. Geochemical distribution of polycyclic aromatic hydrocarbons in soils and sediments of El-Tabbin, Egypt. *Chemosphere*. 2014;95:63-74.
- 14- Wilcke W, Krauss M, Amelung W. Carbon isotope signature of polycyclic aromatic hydrocarbons (PAHs): Evidence for different sources in tropical and temperate environments? *Environmental Science and Technology*. 2002;36(16):3530-35.

- 15- Riyahi Bakhtiari AR, Zakaria MP, Rahin M, Yasis MI, Lajis MNH. Bi x. Characterization of perylene in tropical environment: Comparison of new and old fungus comb for identifying perylene precursor in Macrotermes gilvus termite nests of peninsular Malaysia. *Environment Asia*. 2010;3(1):13-19.
- 16- Otto A, Simoneit BRT, Rember WC. Conifer and angiosperm biomarkers in clay sediments and fossil plants from the Miocene Clarkia Formation, Idaho, USA. *Organic Geochemistry*. 2005;36(6):907-22.
- 17- Silliman JE, Meyers P, Eadie B, Klump J. A hypothesis for the origin of perylene based on its low abundance in sediments of Green Bay, Wisconsin. *Chemical Geology*. 2001;177(3-4):309-22.
- 18- Itoh N, Hashimoto B, Sakagami N, Watanabe M. The structure of a perylene-containing fossilized sclerotium is maintained by original silica. *Organic Geochemistry*. 2013;63:37-39.
- 19- Vesali Naseh MR, Karbasi AR, Ghazban F, Baghvand A. Relationship between Heavy Metal Concentration in Water and Sediments in Anzali Wetland, Iran. *Iranian Journal of Health and Environment*. 2011;8(1):114-23 (in Persian).
- 20- Karimi A, Yazdandad H, Esmaeili A. Investigate the accumulation of heavy metals cadmium, chromium, copper, zinc and iron in some organs of great cormorant Phalacrocorax Carbo in the Lagoon. *Journal of Environmental Studied*. 2007;43:83-92 (in Persian).
- 21- Zakaria MP, Takada H, Tsutsumi S, Ohno K, Yamada J, Kouno E, et al. Distribution of polycyclic aromatic hydrocarbons (PAHs) in rivers and estuaries in Malaysia: A widespread input of petrogenic PAHs. *Environmental Science and Technology*. 2002;36(9):1907-18.
- 22- Heiri O, Lotter AF, Lemcke G. Loss-on-ignition as a method for estimating organic and carbonate content in sediments: Reproducibility and comparability of results. *Journal of Paleolimnology*. 2001;25:101-10.
- 23- Zakaria MP, Mahat AA. Distribution of polycyclic aromatic hydro carbons (PAHs) in sediments in the Langat Estuary. *Coastal Marine Science*. 2006;30(1):387-95.
- 24- Yunker MB, Macdonald RW, Vingarzan R, Mitchell RH, Goyette D, Sylvestre S. PAHs in the Fraser River basin: A critical appraisal of PAH ratios as indicators of PAH source and composition. *Organic Geochemistry*. 2002;33(4):489-15.
- 25- Nemirovskaya Inna A, Brekhovskikh VF. Origin of hydrocarbons in the particulate matter and bottom sediments of the northern shelf of the Caspian Sea. *Oceanology*. 2008;48(1):43-53.
- 26- Wang XC, Sun S, Ma HQ, Liu Y. Sources and distribution of aliphatic and poly aromatic hydrocarbons in sediments of Jiaozhou Bay, Qingdao, China. *Marine Pollution Bulletin*. 2006;52(2):129-38.
- 27- Abessei A, Saeedi M. The origin of hydrocarbons in sediments of the southern coast of the Caspian Sea province of Golestan and Mazandaran. *Journal of Environmental Studies*. 2010;55:43-58 (in Persian).
- 28- Lin T, Hu L, Guo Z, Qin Y, Yung Z, Zhang G et al. Sources of polycyclic aromatic hydrocarbons to sediments of the Bohai and Yellow Seas in East Asia. *Journal of Geophysical Research*. 2011;116(16):148-56.
- 29- Hung CC, Gong GC, Ko FC, Lee HJ, Chen HY, Wu JM, et al. Polycyclic aromatic hydrocarbons in surface sediments of the East China Sea and their relationship with carbonaceous materials. *Marine Pollution Bulletin*. 2011;63(5-12):464-70.
- 30- Commendatore MG, Nievasa ML, Amin O, Esteves JL. Sources and distribution of aliphatic and polyaromatic hydrocarbons in coastal sediments from the Ushuaia Bay (Tierra del Fuego, Patagonia, Argentina). *Marine Environmental Research*. 2012;74:20-31.
- 31- Mille G, Asia L, Giuliano M, Malleret L, Doumenq P. Hydrocarbons in coastal sediments from the Mediterranean Sea (Gulf of Fos area, France). *Marine Pollution Bulletin*. 2007;54(5):566-75.
- 32- Zaghdén H, Kallel M, Elleuch B, Oudot J, Saliot A. Sources and distribution of aliphatic and polyaromatic hydrocarbons in sediments of Sfax, Tunisia, Mediterranean Sea. *Marine Chemistry*. 2007;105(1-2):70-89.
- 33- Baumard PH, Budzinski P, Garrigues. Polycyclic aromatic hydrocarbons in sediments and mussels of the western Mediterranean Sea. *Environmental Toxicology and Chemistry*. 1998;17(5):765-76.

- 34- Khosravi M, Bahramfar N, Ghasempouri M. Survey of heavy metals (Cd, Pb, Hg, Zn and Cu) contamination in sediment of three sites Anzali wetland. Iranian Journal of Health and Environment. 2011;4(2):223-32 (in Persian).
- 35- Babaei H, Khodaparast H. Evaluation of the concentration of total petroleum hydrocarbons and heavy metals (Zn, Pb, Fe, Hg, Cu, Cd, Cr) output Anzali. Wetland. 2009;1(1):33-45 (in Persian).
- 36- Nezami Baloochi ShA, Khara H, Jamalzadeh Fal-lah F, Akbarzadeh A. Survey factors of water physical and chemical in Anzali wetland, its inlet and outlet rivers. Pajouhesh and Sazandegi. 2007;19(3):76-83 (in Persian).

The Origin Determination and Identification of Perylene Entry Source and Other Polycyclic Aromatic Hydrocarbons (PAHs) in Surface Sediments of Anzali Wetland

M. Zamani¹, N. Khorasani², A. R. Riahi Bakhtiari*³, K. Rezaei⁴

¹Department of Environmental Sciences, Faculty of Natural Research, University of Tehran, Karaj, Alborz, Iran

²Department of Environmental Sciences, Faculty of Natural Research, University of Tehran, Karaj, Alborz, Iran

³Department of Environmental Sciences, Faculty of Natural Resources and Marine Sciences, Tarbiat Modares University, Noor, Mazandaran, Iran

⁴Department of Food Science, Faculty of Agriculture, University of Tehran, Karaj, Alborz, Iran

Received: 25 Jan 2014 ; Accepted: 22 Apr 2014

ABSTRACT

Background and Objectives: This study was performed to determine and identify the origin, concentration and source of perylene entry and some PAH compounds in surface sediments of Ghalam Goodeh (A), Siyah Kashim (B), and Talab Markazi (C) in Anzali wetland.

Materials and methods: We collected 22 samples of sediments (from each region) and 2 samples of soils (from A region) in April of 2012. Sampling was performed from soil for proving the condition of concentration and origin of perylene in under investigating sediments. GC-MS was applied for extraction of PAH compounds using organic solvents and 2-phase column chromatography. Diagnostic ratios of Ph/An, Flu/Pyr, Flu/Flu+Pyr, BaA/BaA+Chr and IP/IP+BghiP were used to determine the origin of PAH compounds.

Results: In all sediment samples, the origin of perylene and PAH compounds were found to be natural and petrogenic, respectively. The total concentration of PAH compounds were ranged between 560.05 to 1051.93 ng/g dry weight and perylene concentration were obtained between 70.65 to 204.41 ng/g dry weight. Total concentration of PAHs and perylene was significantly more in area A compared with other two area, whereas no relationship was found between normalized values of PAHs and TOC in sediments of all areas.

Conclusion: With respect to the petrogenic source of PAHs in the surface sediments, the main sources of the PAH compounds entry are the discharge of domestic and industrials wastewater, the port and shipping activities, the exploration, excavation and refining activities of crude oil in offshore region and transportation of fishing and tourism boat but diagnosis of natural origin of perylene in the samples of surface sediment and soil implicated that this compound can be produced in terrestrial section due to activity of termites and fungi on the woody and cellulosic materials of forest floor, decaying wood and their fossilized remains and then their discharge to the wetland.

Keywords: PAH Compounds, TOC, Petrogenic, Surface Sediments.

*Corresponding Author: *riahi@modares.ac.ir*

Mob: +989126798768